

**MATERIAŁY**

**X MIĘDZYNARODOWEJ  
NAUKOWI-PRAKTYCZNEJ KONFERENCJI**

**«WYKSZTAŁCENIE I NAUKA  
BEZ GRANIC - 2014»**

**07 - 15 grudnia 2014 roku**

**Volume 27**  
**Techniczne nauki**  
**Budownictwo i architektura**

Przemyśl  
Nauka i studia  
2014

**SPIS**

**TECHNICZNE NAUKI**

**ENERGETYKA**

<b>Валиева Д.З., Сулейманова Л.Р., Рудаков А.И.</b> Современное состояние и перспективы использования систем однопроводной передачи электрической энергии .....	3
<b>Сулейманова Л.Р., Валиева Д.З., Рудаков А.И.</b> Современные направления получения и использования свободной энергии.....	8
<b>Сулейманова Л.Р., Валиева Д.З., Рудаков А.И.</b> Гравитационный генератор для получения свободной энергии .....	10
<b>Бахтияр Б.Т.</b> Применения тепловых насосов в промышленности .....	12
<b>Ковалев А.А., Головин А.А.</b> Анализ применения сапр в расчетах технических систем.....	15
<b>Сычев Д.В., Майстренко Н.В.</b> Проблема проектирования осветительных установок производственных помещений .....	19
<b>Рубаненко Е.А., Сидоренко Р.В., Чарський А.В., Кривулько М.В., Дмитришен А Н.</b> Использование альтернативных источников энергии для теплоснабжения и электроснабжения в АПК.....	22

**ELEKTROTECHNIKA I RADIOELEKTRONIKA**

<b>Митрофанов Д.Г., Силаев Н.В.</b> Изучение структуры и информационных свойств доплеровских портретов воздушных объектов.....	25
<b>Куцевол О.М., Куцевол М.О.</b> Метод визначення діелектричних параметрів вологого зерна.....	31
<b>Анарбаев А.Е., Шайхин А.К.</b> Методы оценки воздействия сверхкоротких электромагнитных импульсов на локальные вычислительные сети .....	35

**DO WALCOWANIA RUR PRODUKCJA**

<b>Захаренко В.В., Холодилов О.В.</b> Ультразвуковой метод контроля качества сварных соединений.....	39
--	----

**OBRÓBKA MATERIAŁÓW W BUDOWIE MASZYN**

<b>Милько В.В.</b> Зміна коефіцієнта тертя по задній поверхні різального інструменту внаслідок впливу чинників процесу різання .....	42
--	----

ДП от частоты зондирования подтвердилась. Исследования выполнены в рамках гранта РФФИ № 13-07-97505.

Литература

1. Радиолокационные характеристики летательных аппаратов / Под ред. Л.Т. Тучкова. М., Радио и связь, 1985. – 236 с.
2. Митрофанов Д. Г. Методика экспериментального синтеза двумерных радиолокационных изображений. Киев: Радиоэлектроника. Известия вузов, 1996. Т. 39. № 1. С. 71–75.
3. Митрофанов Д. Г. Влияние амплитудного и фазового шума на качество формирования радиолокационного изображения // Радиотехника и электроника, 1995. Т. 40. № 4. С. 586–590.
4. Митрофанов Д. Г. Комплексный адаптивный метод построения радиолокационных изображений в системах управления двойного назначения // Известия РАН. Теория и системы управления, 2006. № 1. С. 101–118.
5. Патент РФ № 2066059. МПК<sup>8</sup> G01S 13/89. Способ построения двумерного радиолокационного изображения в РЛС сопровождения прямолинейно движущейся цели / Митрофанов Д.Г. БИ № 24. 1996.
6. Митрофанов Д.Г. Изучение характера изменения доплеровского портрета летательного аппарата экспериментальным методом // XX международная научно-техническая конференция. Радиолокация, навигация, связь. RLNC-2014. Воронеж: НПФ «САКВОЕЕ», 2014. Том 3. С. 1785–1798.
- Статья I. 7. Митрофанов Д.Г. Формирование радиолокационных изображений при негативном влиянии турбовинтовой модуляции // Измерительная техника, 2005. № 7. С. 60–64.
8. Митрофанов Д.Г., Прохоркин А.Г., Нефедов С.И. Измерение габаритов летательных аппаратов в условиях турбулентности на основе инверсного синтезирования апертуры // Измерительная техника, 2008. № 8. С. 24–28.

**К.т.н. Куцевол О. М., к.т.н. Куцевол М. О.**

*Вінницький національний аграрний університет, Україна*

## **МЕТОД ВИЗНАЧЕННЯ ДІЕЛЕКТРИЧНИХ ПАРАМЕТРІВ ВОЛОГОГО ЗЕРНА**

Існуючі нині прилади контролю вологості та вологометричні системи, що базуються на електричних методах вимірювання вологості, відповідають задекларованим похибкам при контролі матеріалів, що мають стабільні пористість і діелектричні втрати. Зерно має нестабільні пористість і хімічний склад [1,2]. Ці

збурювальні параметри зерна залежать від кліматичних особливостей під час вегетації, від кількості та складу добрив і засобів захисту, від складу ґрунту та інших факторів. Особливий вклад в сумарну похибку діелектрометричних вологомірів вносять діелектричні втрати і втрати за рахунок прямої провідності, які значною мірою залежать від хімічного складу.

Основними діелектричними параметрами зерна є відносна діелектрична проникність та тангенс кута діелектричних втрат.

Відносна діелектрична проникність показує у скільки разів збільшується емність чутливого елемента при заповненні його досліджуваним матеріалом:

$$\varepsilon = \frac{C_y}{C}, \quad (1)$$

де  $C_y$  – емність чутливого елемента із досліджуваним матеріалом (увівна емність);

$C$  – емність незаповненого чутливого елемента.

### Результати досліджень

Відомо [3], що відносна діелектрична проникність – величина

комплексна, значення якої залежить від діелектричних втрат та втрат прямої провідності:

$$\dot{\varepsilon} = \varepsilon' - j\varepsilon'', \quad (2)$$

де  $\varepsilon'$  – дійсна частина комплексної відносної діелектричної проникності;

$\varepsilon''$  – уявна частина комплексної відносної діелектричної проникності.

Під дією гармонічної напруги в досліджуваному зразку зерна виникає струм:

$$\begin{aligned} \dot{I}_m &= \frac{U_m}{Z_{C1}} = \frac{U_m}{\frac{1}{j\omega\varepsilon C}} = U_m j\omega\varepsilon C = \\ &= U_m j\omega C(\varepsilon' - j\varepsilon'') = U_m j\omega C\varepsilon'' + jU_m \omega C\varepsilon' = U_m(g + jb), \end{aligned} \quad (3)$$

де  $Z_{C1}$  – комплексний опір заповненого чутливого елемента;

$\omega$  – кутова частота гармонічної напруги.

Таким чином, у виразі (3) дійсна складова комплексної амплітуди струму:

$$I_d = U_m g = U_m \omega C \varepsilon''$$

є струмом втрат активної (прямої) провідності, уявна складова комплексної амплітуди струму:

$$I_y = U_m b = U_m \omega C \varepsilon'$$

є струмом діелектричних втрат, викликаних наявністю поляризаційних ефектів у вологому зерні пшениці.

Складові комплексної відносної діелектричної провідності і тангенс кута діелектричних втрат пов'язані наступною залежністю [4]:

$$\operatorname{tg}\delta = \frac{\varepsilon''}{\varepsilon'}. \quad (4)$$

Модуль комплексної відносної діелектричної проникності:

$$\varepsilon = \sqrt{(\varepsilon')^2 + (\varepsilon'')^2}. \quad (5)$$

Для знаходження  $\varepsilon'$ ,  $\varepsilon''$  і  $\operatorname{tg}\delta$  зерна можна скористатись методами, описаними в [4].

Еквівалентна електрична схема первинного перетворювача при дослідженні зерна показана на рис.1, а суміщена векторна діаграма струмів і напруг – на рис.2.

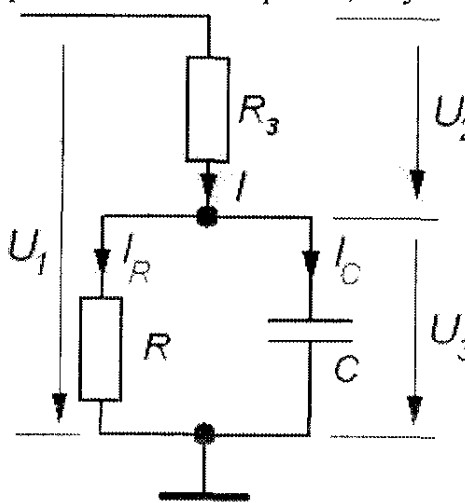


Рис.1. Еквівалентна електрична схема первинного перетворювача

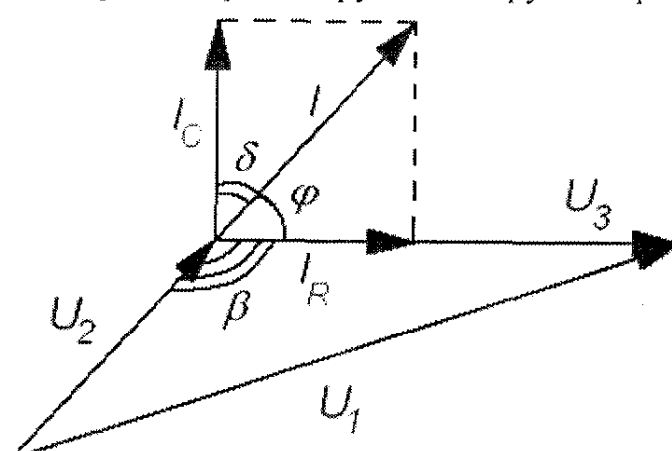


Рис.2. Суміщена векторна діаграма струмів і напруг еквівалентної електричної схеми первинного перетворювача

З рис.2. очевидно, що кут  $\varphi$  може знаходитись в межах  $0 < \varphi < \frac{\pi}{2}$ .

Із трикутника, утвореного напругами  $U_1, U_2, U_3$ , знаходимо кут  $\beta$ :

$$\beta = \arccos \frac{U_2^2 + U_3^2 - U_1^2}{2U_2U_3} \quad (6)$$

та кут  $\varphi$

$$\varphi = \pi - \beta = \pi - \arccos \frac{U_2^2 + U_3^2 - U_1^2}{2U_2U_3}. \quad (7)$$

Модуль струму перетворювача

$$I_m = \frac{U_2}{R_3}, \quad (8)$$

де  $R_3$  – зразковий резистор перетворювача.

За відомих значень  $\varphi$  та  $I$  легко знаходиться дійсна і уявна складові комплексного сумарного струму:

$$I_{mR} = I_m \cos \varphi, \quad (9)$$

$$I_{mC} = I_m \sin \varphi, \quad (10)$$

Використовуючи вирази (9) і (10), знаходимо тангенс кута діелектричних втрат

$$\operatorname{tg} \delta = \frac{I_{mR}}{I_{mC}}. \quad (11)$$

Уявна ємність чутливого елемента із досліджуваним зерном на будь-якій частоті:

$$C_y = \frac{I_m}{U_{m3} \cdot \omega} = \frac{I_m}{2 \cdot \pi \cdot f \cdot U_{m3}}. \quad (12)$$

Враховуючи вирази (1), (4) і (5), знаходимо дійсну і уявну складові комплексної відносної діелектричної проникності

$$\varepsilon' = \sqrt{\frac{\varepsilon^2}{1 + \operatorname{tg}^2 \delta}}, \quad (13)$$

$$\varepsilon'' = \varepsilon' \cdot \operatorname{tg} \delta. \quad (14)$$

### Висновок

Таким чином, вимірюючи  $U_1$ ,  $U_2$ ,  $U_3$ , можна знайти  $\varphi$ ,  $I$ ,  $I_C$ ,  $I_R$  та  $C_y$ , а через них  $\operatorname{tg} \delta$ ,  $\varepsilon$ ,  $\varepsilon'$  і  $\varepsilon''$ , тобто всі діелектричні параметри досліджуваного зерна на будь-якій частоті  $f$ .

### Література:

1. Патент 75699 UA, MKI G01N 27/22. Спосіб вимірювання вологості / Поджаренко В. О., Куцевол М. О., Куцевол О. М. – №2004031999; Заявл. 18.03.2004; Опубл. 15.05.2006. Бюл. №5. – 3 с.
2. Патент 75700 UA, MKI G01N 27/22. Спосіб вимірювання вологості / Поджаренко В. О., Куцевол М. О., Куцевол О. М. – №2004032000; Заявл. 18.03.2004; Опубл. 15.05.2006. Бюл. №5. – 2 с.
3. Кричевский Е. С., Волченко А. Г., Галушкин С. С. Контроль влажности твердых и сыпучих материалов. –М: Энергоатомиздат, 1987. –136 с.
4. Куцевол Н. А. Методы и средства измерения влажности хлебобулочных изделий. Дис. ... канд. техн. наук. –Винница, 1991.–168 с.

Анарбаев А.Е., Шайхин А.К.

Казахский национальный технический университет им. К. Сатпаева, РК

## МЕТОДЫ ОЦЕНКИ ВОЗДЕЙСТВИЯ СВЕРХКОРОТКИХ ЭЛЕКТРОМАГНИТНЫХ ИМПУЛЬСОВ НА ЛОКАЛЬНЫЕ ВЫЧИСЛИТЕЛЬНЫЕ СЕТИ

Воздействующие деструктивные факторы (ВДФ), имеющие место в локальных вычислительных сетях (ЛВС), весьма многообразны и внутри каждого вида в основном различаются по интенсивности, режимам и времени воздействия. Все виды ВДФ могут действовать на объект независимо друг от друга, либо комплексно с различной степенью корреляции. В свою очередь, объекты избирательно воспринимают различные воздействия в зависимости от их структуры.